

ЛАБОРАТОРНОЕ ИССЛЕДОВАНИЕ ДЕФОРМАЦИЙ БЕРЕГОВОГО СКЛОНА, ВКЛЮЧАЮЩЕГО МЕРЗЛЫЙ ГРУНТ*

В.К. Дебольский^{1,2}, Д.Н. Ионов¹, И.И. Грицук^{1,2},
Н.К. Пономарев², Е.К. Синиченко²

¹ Институт водных проблем Российской академии наук
ул. Губкина, 3, Москва, Россия, 119333

² Российский университет дружбы народов
ул. Орджоникидзе, 3, Москва, Россия, 115419

Выполнен первый этап исследований деформаций берегов, на лабораторной модели, сложенных многолетнемерзлыми грунтами, при воздействии волн с различными характеристиками. Прослеживается взаимосвязь между объемами деформаций, их параметрами и волновыми характеристиками. Также выявлена прямая зависимость механизма формирования склона от критериев волновых воздействий.

Ключевые слова: параметры волнения, деформации берегов, многолетнемерзлые грунты, экспериментальные исследования, лабораторная модель.

Исследования деформаций берегов, сложенных многолетнемерзлыми грунтами, на лабораторной модели были проведены в открытом гидравлическом лотке (далее — лоток) Лаборатории гидрологической и технической безопасности гидро сооружений кафедры гидравлики и гидротехнических сооружений инженерного факультета Российского университета дружбы народов.

В качестве материала, слагающего модель, использовался карьерный люберецкий песок естественного состояния крупностью $d_{50} = 0,20$ мм. Надводная часть модели берегового склона выдерживалась в морозильной камере при температуре -18°C в течение 24 час., а параметры назначались в соответствии с представленными ниже схемами (рис. 1).

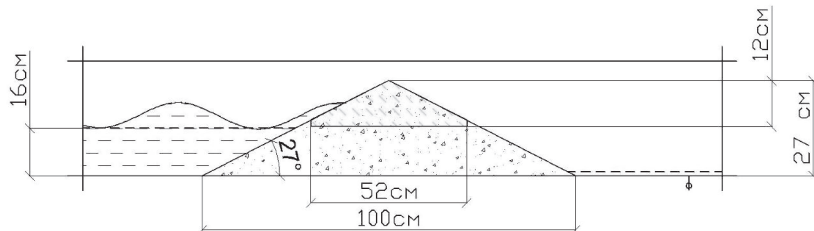


Рис. 1. Схема гидравлической модели

Лоток циркуляционного типа с возможностью изменения уклона дна в сечении имеет прямоугольную форму и оснащен программируемым волнопродуктором. Его длина составляет 16,0 м, ширина 0,3 м, высота стенок 0,4 м.

* Работа проведена при поддержке РФФИ, в рамках гранта №13-05-41095 РГО_а.

Модель представляет собой отсыпку из песка крупностью $d_{50} = 0,20$ мм с углами откосов 27° . Ее габариты: высота 27 см, длина в основании 100 см, ширина 30 см. Глубина воды перед моделью составляет 16 см. Для экспериментов с замороженным грунтом верхняя часть модели (12 см от ее общей высоты) выдерживалась в морозильной камере в течение 24 часов при температуре -18°C , предварительно грунт увлажнялся, после чего замороженная часть устанавливалась на нижнюю, заранее отсыпанную в лотке часть модели. Для экспериментов с грунтами, имеющими положительные температуры, модель формировалась увлажненным грунтом на всю высоту (27 см) непосредственно в самом лотке (рис. 2–4).



Рис. 2. Общий вид экспериментальной установки

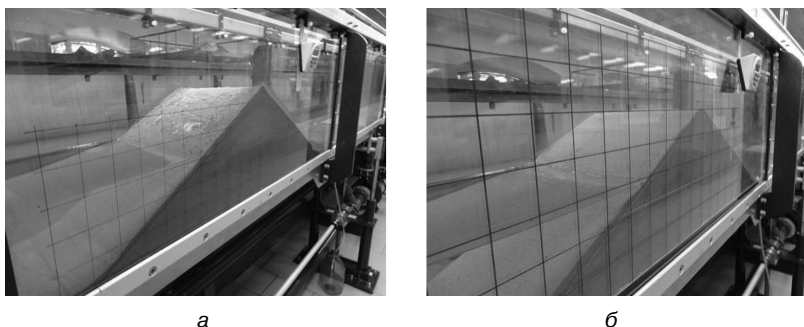


Рис. 3. Общий вид модели:

- а* — модель подготовленная для проведения эксперимента (верхняя часть выдержана в морозильной камере при температуре -18°C);
- б* — модель, подготовленная для проведения эксперимента (температура грунта модели 24°C)

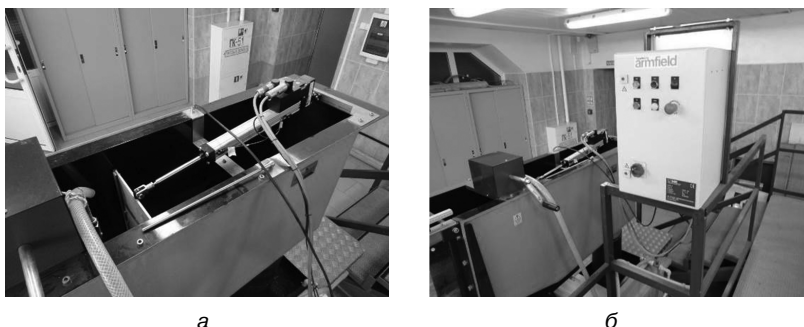


Рис. 4. Основные элементы экспериментальной установки:
а — волонопродуктор; *б* — пульт управления волнопродуктором

Эксперименты во всех случаях проводились в такой последовательности:

- установка модели в гидравлический лоток;
- заполнение лотка со стороны волнопродуктора водой до обеспечения необходимой глубины перед моделью (16 см);
- подготовка и настройка оборудования для фото- и видеофиксации эксперимента;
- подготовка измерительного оборудования;
- снятие измерений с модели;
- проведение эксперимента с фиксацией необходимых параметров.

По результатам первого этапа исследований на лабораторной модели было проведено более 40 экспериментов с целью определения оптимальных волновых и модельных параметров, а также методики эксперимента в целом. В результате анализа результатов предварительных экспериментов были определены наиболее подходящие для целей исследования волновые характеристики, на основании которых выполнены чистовые эксперименты. Следует отметить, что повторяемость результатов одного эксперимента достаточно высокая, а разница показаний между экспериментами, проведенными при одинаковых волновых и модельных параметрах, варьируется от 1 до 4%.

На протяжении всего эксперимента проводилась фото- и видеосъемка процесса деформации верхового откоса и параметров набегания волны на откос. Время проведения эксперимента фиксировалось секундомером, который на всем его протяжении находился в поле зрения объектива видеокамеры (в кадре). Отсчет времени производился с начала запуска волнопродуктора; окончанием работы (для экспериментов с замороженным грунтом) являлся момент обрушения верхней, размытой части модели. Волнопродуктор программировался через ЭВМ лицензионным программным комплексом Wave Generator Version 1.33 02/03/00. Впоследствии все эксперименты повторялись на моделях с положительной температурой, а время проведения этих экспериментов было принято равным времени проведения экспериментов на замороженной модели.

По результатам каждого эксперимента производился замер отфильтрованной через тело модели воды посредством дренажного отверстия, находящегося в 30 см от модели со стороны низового откоса. По окончании эксперимента все данные фиксировались в специальную форму, созданную при помощи программного комплекса для работы с электронными таблицами, возможностью упорядочивания, представления и вывода данных Microsoft Excel. Также для более точного измерения геометрических параметров модели и волновых воздействий на нее (длины набегания волн на верховой откос, углы сформированных склонов и откосов и т.д.) использовалась двухмерная система автоматизированного проектирования и черчения, разработанная компанией Autodesk, — AutoCAD. В качестве вспомогательного элемента для визуальной оценки модели и проводимого на ней эксперимента был выполнен прозрачный шаблон модели, разлинованный ячейкой 5×5 см, который размещался непосредственно на стенке лотка в месте расположения модели (рис. 5).

В таблице 1 указаны основные параметры проведенных экспериментов и их осредненные результаты.

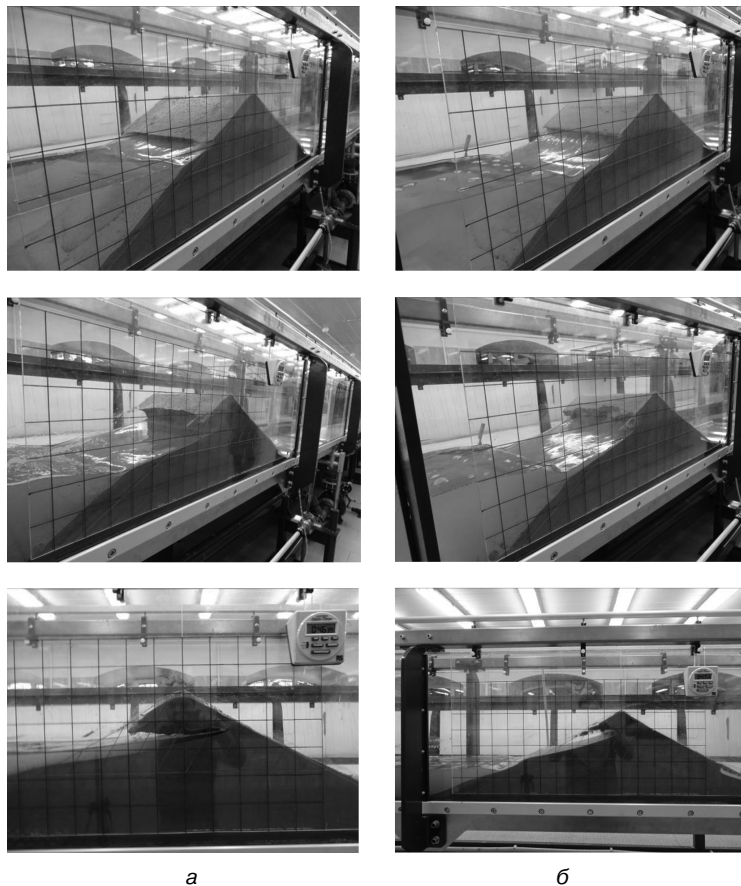


Рис. 5. Процесс деформации модели в ходе эксперимента:
а — верхняя часть модели выдержана в морозильной камере
при температуре -18°C ; б — температура грунта модели 24°C)

По данным экспериментов построены кривые и установлены зависимости для объема деформации модели и общего фильтрационного режима от волновых параметров (рис. 6, 7).

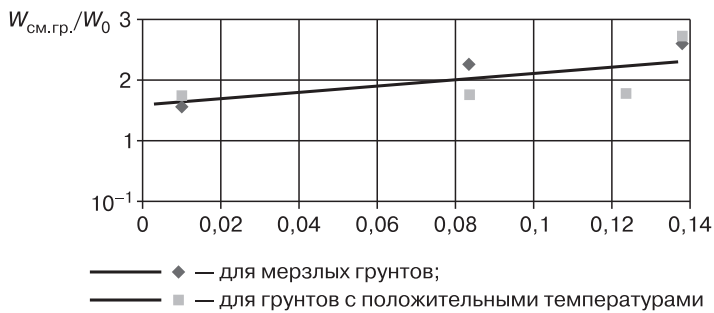


Рис. 6. График зависимости объема деформации мерзлого и немерзлого грунтов
моделируемого склона при волновом воздействии

Таблица 1

Сводная таблица параметров модели и результатов экспериментов

| Наименование параметра | Ед. изм. | 29.09.2014 г. | | 14.10.2014 г. | | 24.09.2014 г. | | 28.10.2014 г. | | 12.11.2014 г. | | 13.11.2014 г. | | 10.12.2014 г. | | 03.12.2014 г. | |
|--|-----------------|---------------|----------|---------------|----------|---------------|----------|---------------|----------|---------------|----------|---------------|----------|---------------|----------|---------------|----------|
| | | до | после |
| Грунт модели — песок (замороженный) | | | | | | | | | | | | | | | | | |
| Температура грунта | °С | -18 | -13,5 | -18 | -14,8 | -18 | -13,5 | -18 | -14,5 | 25 | 17 | 26 | 16 | 25 | 19,5 | 25 | 18 |
| Объем «смытого» материала | см ³ | 0 | 2804 | 0 | 2491 | 0 | 2344 | 0 | 1787 | 0 | 2923 | 0 | 1803 | 0 | 2045 | 0 | 2050 |
| Фильтрационный расход в НБ при отсутствии волнения | мл/мин | 55,25 | 55,25 | 55,25 | 55,25 | 55,25 | 55,25 | 55,25 | 55,25 | 76,33 | 76,33 | 76,33 | 76,33 | 76,33 | 76,33 | 76,33 | 76,33 |
| Фильтрационный расход в НБ | мл/мин | 0 | 74,9 | 0 | 78,17 | 0 | 66,1 | 0 | 61,24 | 0 | 118,1 | 0 | 105,8 | 0 | 108,8 | 0 | 88 |
| Высота модели (общая) | см | 27 | 23,3 | 27 | 19,4 | 27 | 25 | 27 | 26 | 27 | 20 | 27 | 20,5 | 27 | 27 | 27 | 27 |
| Высота модели (мерзлая часть) | см | 14 | 9,3 | 14 | 5,8 | 14 | 5,2 | 14 | 13 | 14 | 7 | 14 | 7,5 | 14 | 14 | 14 | 14 |
| Ширина модели | см | 30 | 30 | 30 | 30 | 30 | 30 | 30 | 30 | 30 | 30 | 30 | 30 | 30 | 30 | 30 | 30 |
| Площадь продольного сечения модели (общая) | см ² | 1 325 | 1 232 | 1 325 | 1 242 | 1 325 | 1 247 | 1 325 | 1 266 | 1 325 | 1 228 | 1 325 | 1 265 | 1 325 | 1 257 | 1 325 | 1 257 |
| Площадь продольного сечения модели (мерзлая часть) | см ² | 356,4 | 262,9 | 356,4 | 273,4 | 356,4 | 278,3 | 356,4 | 296,8 | 356,4 | 258,9 | 356,4 | 296,3 | 356,4 | 288,2 | 356,4 | 288 |
| Угол заложения сформированного склона | ° | 8 | 10 | 9 | 12 | 9 | 12 | 9 | 11 | 11 | 11 | 11 | 11 | 11 | 11 | 11 | 25 |
| Угол заложения верхового откоса | ° | 27 | 31 | 27 | 22 | 27 | 29 | 27 | 30 | 27 | 27 | 27 | 27 | 27 | 31 | 27 | 27 |
| Глубина потока в спокойном состоянии | см | 16 | 16 | 16 | 16 | 16 | 16 | 16 | 16 | 16 | 16 | 16 | 16 | 16 | 16 | 16 | 16 |
| Ширина потока | см | 30 | 30 | 30 | 30 | 30 | 30 | 30 | 30 | 30 | 30 | 30 | 30 | 30 | 30 | 30 | 30 |
| Высота волны | см | 1,1 | 0,9 | 2,1 | 2,1 | 1,1 | 1,1 | 0,9 | 0,9 | 2,1 | 2,1 | 2,1 | 2,1 | 2,1 | 2,1 | 2,1 | 2,1 |
| Длина волны | см | 390,0 | 330,8 | 254,2 | 300,0 | 390,0 | 330,8 | 254,2 | 300,0 | 390,0 | 330,8 | 254,2 | 300,0 | 300,0 | 300,0 | 300,0 | 300,0 |
| Частота волнения | сек | 2,41 | 2,58 | 2,20 | 2,68 | 2,41 | 2,68 | 2,41 | 2,68 | 2,41 | 2,58 | 2,20 | 2,58 | 2,20 | 2,68 | 2,68 | 2,68 |
| Уклон dna | ° | 0 | 0 | 0 | 0 | 0 | 0 | 0 | 0 | 0 | 0 | 0 | 0 | 0 | 0 | 0 | 0 |
| Время проведения эксперимента | мин | 00:45:06 | 00:46:44 | 00:30:10 | 00:04:25 | 00:45:06 | 00:46:44 | 00:30:10 | 00:04:25 | 00:45:06 | 00:46:44 | 00:30:10 | 00:04:25 | 00:45:06 | 00:46:44 | 00:30:10 | 00:04:25 |

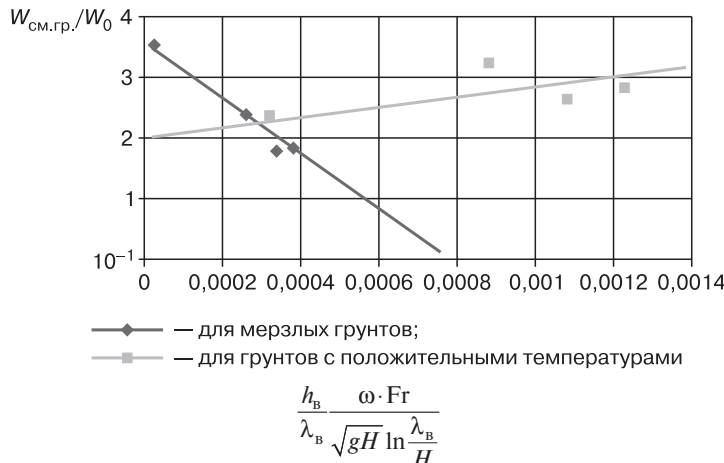


Рис. 7. График зависимости объема фильтрации от волновых параметров

Относительный объем деформации мерзлого и немерзлого грунтов склона при волновом воздействии можно аппроксимировать соотношением (1):

$$\frac{W_{\text{см.гр.}}}{W_0} = \frac{1}{4} \left(\frac{h_{\text{в}}}{\lambda_{\text{в}}} \frac{\text{Fr}}{\ln \frac{\lambda_{\text{в}}}{H}} \right)^{\frac{1}{15}}, \quad (1)$$

где $W_{\text{см.гр.}}$ — объем грунта смытого в процессе эксперимента; W_0 — общий объем грунта размываемой модели (до начала эксперимента); $h_{\text{в}}$ — высота волны; $\lambda_{\text{в}}$ — длина волны; H — глубина воды перед моделируемой отсыпкой; $\text{Fr} = \frac{V^2}{gh_{\text{в}}}$, где V — скорость набегания волны на верховой откос модели.

Зависимость объема фильтрации от влияния волнового воздействия можно аппроксимировать соотношением (2) для мерзлого и (3) немерзлого грунтов:

$$\frac{W_{\text{фил}}}{W_{\text{наб}}} = 3,3 \cdot 10^2 \left(\frac{h_{\text{в}}}{\lambda_{\text{в}}} \frac{\omega \cdot \text{Fr}}{\sqrt{gH} \ln \frac{\lambda_{\text{в}}}{H}} \right)^{-\frac{2}{3}}, \quad (2)$$

$$\frac{W_{\text{фил}}}{W_{\text{наб}}} = 0,82 \left(\frac{h_{\text{в}}}{\lambda_{\text{в}}} \frac{\omega \cdot \text{Fr}}{\sqrt{gH} \ln \frac{\lambda_{\text{в}}}{H}} \right)^{\frac{1}{6}}, \quad (3)$$

где $W_{\text{фил}}$ — фильтрационный расход через тело модели; $W_{\text{наб}}$ — объем набегающей волны; $h_{\text{в}}$ — высота волны; $\lambda_{\text{в}}$ — длина волны; H — глубина воды перед моделируемой отсыпкой;

ω — гидравлическая крупность; $Fr = \frac{V^2}{gh_b}$, где V — скорость набегания волны на верховой откос модели.

Полученные результаты. Проведенные серии экспериментов на лабораторной модели показали, что размыв тела моделируемой преграды, сложенной песком с отрицательной температурой, при возникновении волновых процессов происходит интенсивнее, чем при прочих равных условиях преграды, сложенной песком с положительной температурой.

Объем деформации мерзлой модели в среднем на 27% превышает объем деформации модели сложенной грунтом с положительной температурой.

Серии экспериментов показали, что моделирование волновых процессов и возникающих в результате этих воздействий деформаций, достаточно с большой долей достоверности описывают естественные процессы переформирования берегового склона.

Результаты указанных в данной статье исследований позволяют разработать физико-математическую модель трансформации береговых склонов под воздействием волновых процессов. Ранее подобная фундаментальная проблема не ставилась, однако известны эти явления и их последствия, часто приводящие к катастрофам.

ЛИТЕРАТУРА

- [1] СП 38.13330.2012 Нагрузки и воздействия на гидroteхнические сооружения (волновые, ледовые и от судов). Актуализированная редакция СНиП 2.06.04-82* [SP 38.13330.2012 Nagruzki i vozdeystviya na gidrotekhnicheskie sooruzheniya (volnovye, ledovye i ot sudov). Aktualizirovannaya redaktsiya SNiP 2.06.04-82*].
- [2] СН 92-60 Технические условия определения волновых воздействий на морские и речные сооружения и берега [SN 92-60 Tekhnicheskie usloviya opredeleniya volnovykh vozdeystviy na morskie i rechnye sooruzheniya i berega].

LABORATORY RESEARCH OF DEFORMATIONS OF THE COASTAL SLOPE INCLUDING FROZEN SOIL

V.K. Debolskiy^{1,2}, D.N. Ionov¹, I.I. Gritsuk^{1,2}, N.K. Ponomarev², E.K. Sinichenko²

¹ Water Problems Institute

Russian Academy of Science

Gubkina str., 3, Moscow, Russia, 119333

² Peoples' Friendship University of Russia

Ordzhonikidze str., 3, Moscow, Russia, 115419

The first stage of research deformations shores, on a laboratory model composed of permafrost, under the influence of waves with different characteristics. Traced the relationship between the amount of deformation, their parameters and wave characteristics. Just found a direct dependence of the formation mechanism of the slope on the criteria of wave impacts.

Key words: emotion parameters, strain off the coast, permafrost, experimental studies, laboratory model.